



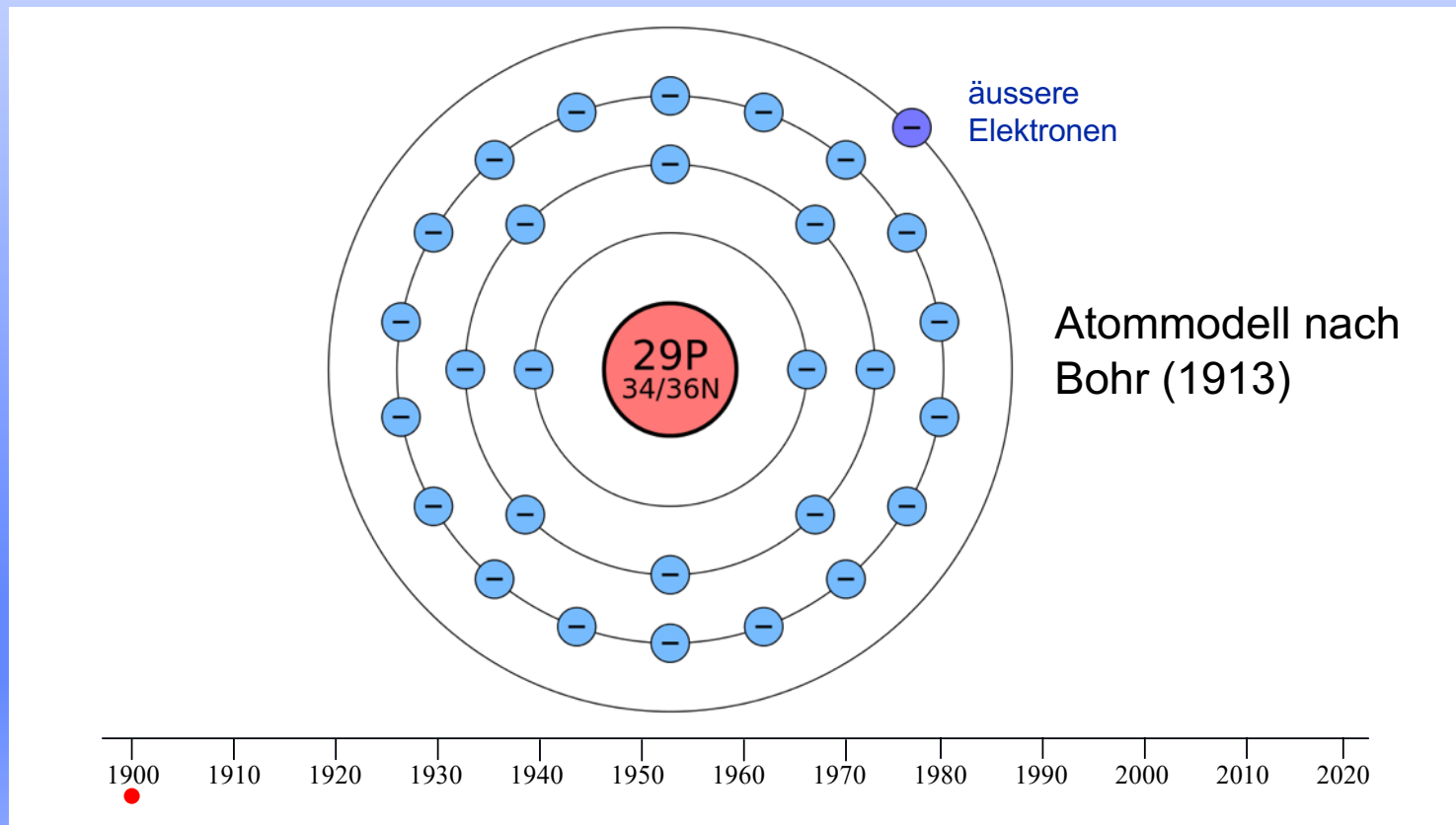
Universität  
Zürich<sup>UZH</sup>

Supraleitung

# Supraleitung



## Elektrischer Widerstand... Vorstellung um ca. 1900





## Elektrischer Widerstand... Vorstellung um ca. 1900

Stossprozesse:  
Drude-Theorie (um 1900)

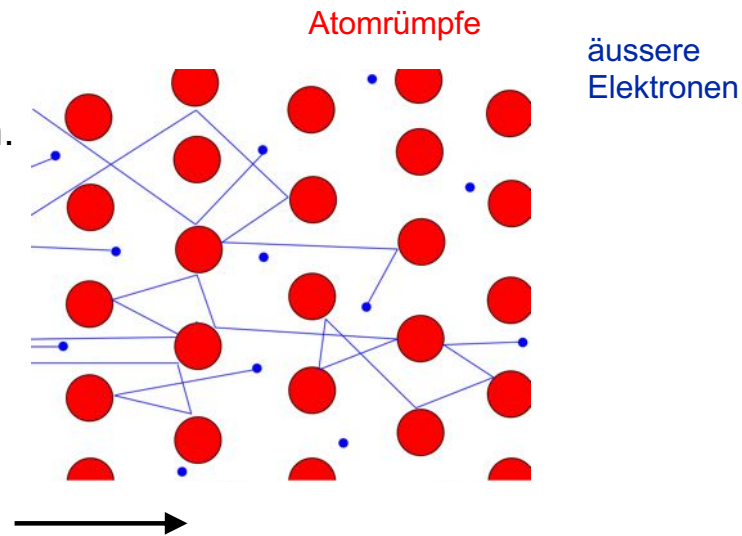
### Metall

Äussere Elektronen sind beweglich  
und nicht an feste Plätze gebunden.

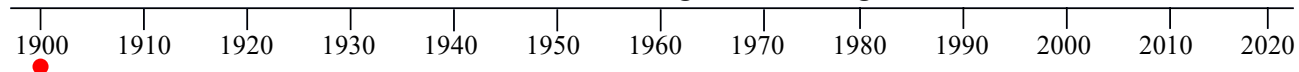
Durch Stossprozesse ergibt sich  
eine Art Reibung:

Die Elektronen können sich nur  
fortbewegen, wenn ständig eine  
Kraft auf sie wirkt.

=> **Elektrischer Widerstand**



Mittlere Driftgeschwindigkeit in elektrischem Feld





## Elektrischer Widerstand... Vorstellung um ca. 1900

### Metall

*Verhalten „nahe“ dem  
Temperaturnullpunkt?*

**Dewar** (1904): Widerstand geht stetig **gegen null**

**Matthiesen** (1884): Widerstand hat **Grenzwert**

**Kelvin** (1902): Widerstand **nimmt** wegen  
Lokalisierung der Elektronen **stark zu**

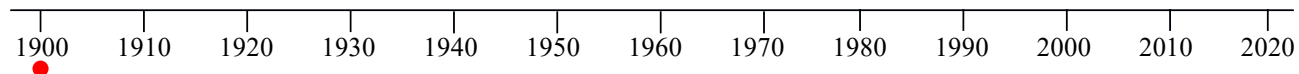
*Verhalten beim absoluten Temperaturnullpunkt?*

**Walter Nernst** 3. Hauptsatz (1906):

absoluter Stillstand: **Isolator**

**Max Planck** „2. Quantentheorie“ (1911):

Nullpunktsbewegung **Leitend**





## Elektrischer Widerstand... Vorstellung um ca. 1900

### Metall

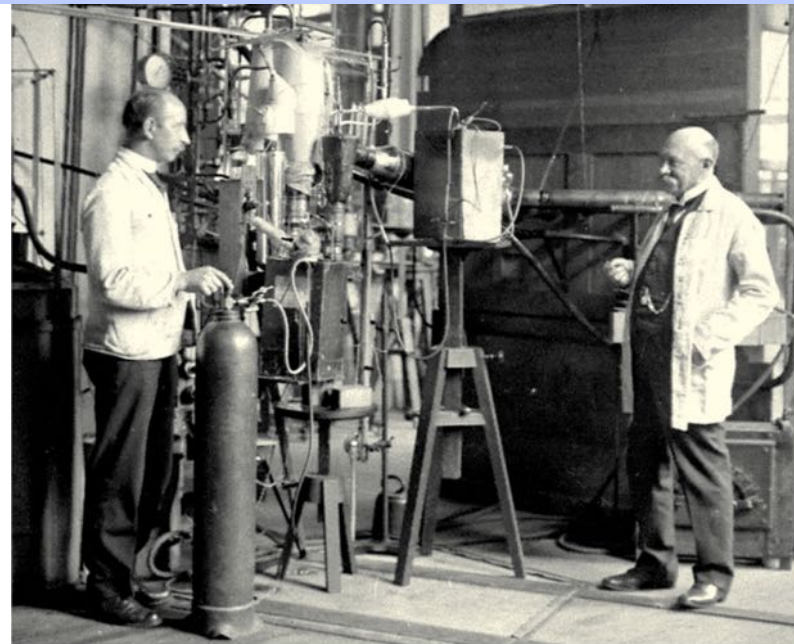


1913

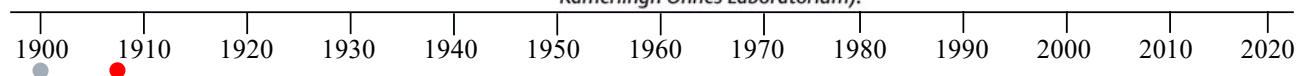
*Verhalten „nahe“ dem  
Temperaturnullpunkt?*

**Joule Thomson Effekt nach  
Vorkühlung unter 40 K:**

**Verflüssigung von Helium  
durch Team von Heike  
Kammerlingh Onnes (1908)**



**Heike Kamerlingh Onnes (rechts) zusammen mit seinem Techniker Gerrit J. Flim neben dem zweiten in Leiden gebauten Heliumverflüssiger (Foto: Collection Kamerlingh Onnes Laboratorium).**



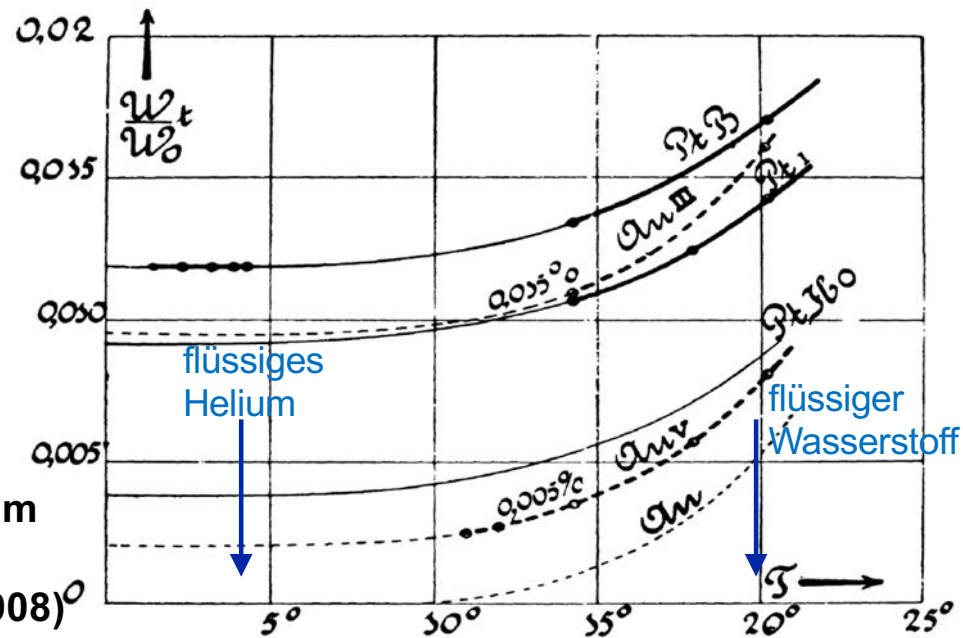


## Elektrischer Widerstand... Vorstellung um ca. 1900

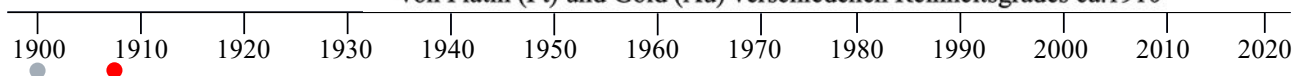
### Metall

Verhalten „nahe“ dem  
Temperaturnullpunkt?

Verflüssigung von Helium  
durch Team von Heike  
Kammerlingh Onnes (1908)<sup>o</sup>



Messungen von Kamerling Onnes, Cornelis Dorsman & Gilles Holst an mehreren Proben von Platin (Pt) und Gold (Au) verschiedenen Reinheitsgrades ca.1910

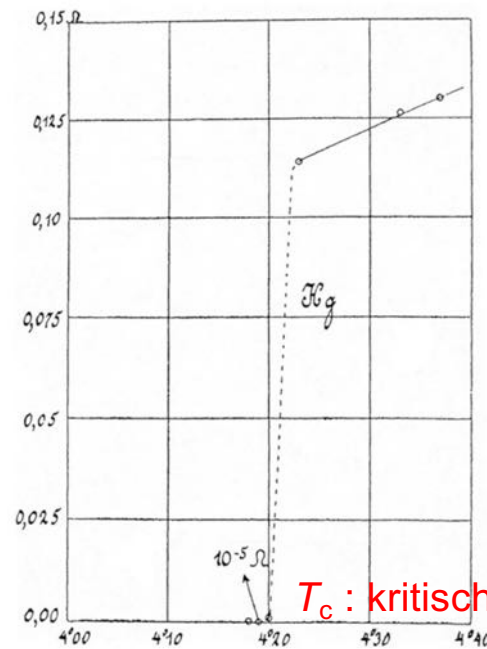




## Entdeckung der Supraleitung

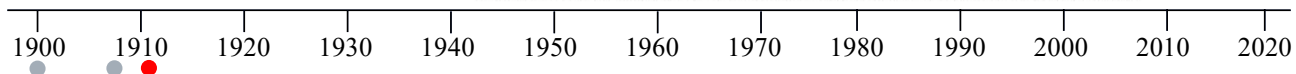
### Entdeckung der Supraleitung in Quecksilber

Kammerlingh Onnes (1911)



$T_c$  : kritische Temperatur

Abb. 1.1 Entdeckung der Supraleitung. Elektrischer Widerstand in Ohm einer Quecksilber-Probe, aufgetragen in Abhängigkeit von der Temperatur in Kelvin. (H. Kamerlingh Onnes)





## Verhalten im Magnetfeld

Supraleitung wird durch hohe Magnetfelder zerstört (kritisches Feld  $B_c$ )

Kritische Stromdichte  $j_c$

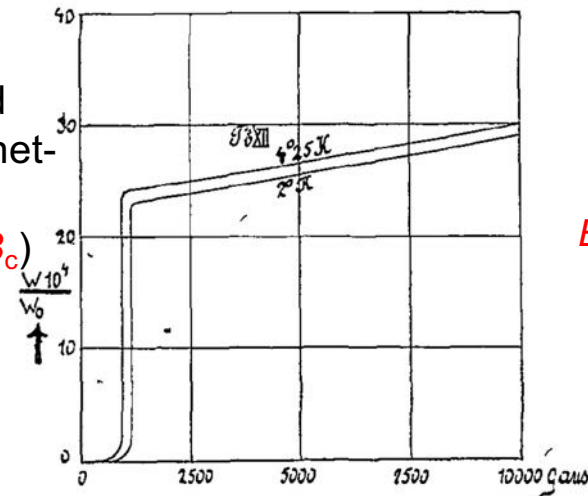
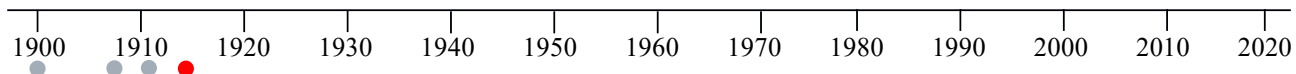
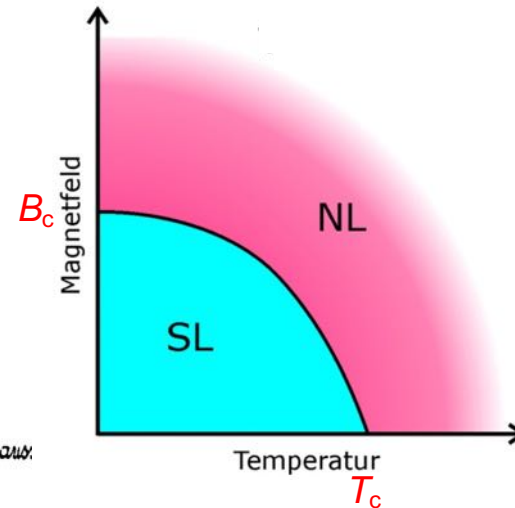


Fig. 1.

Kammerlingh Onnes (1914)

**Faustregel:** Je höher  $T_c$ , desto „robuster die Supraleitung“ (hohe Werte für  $B_c$  und  $j_c$ )

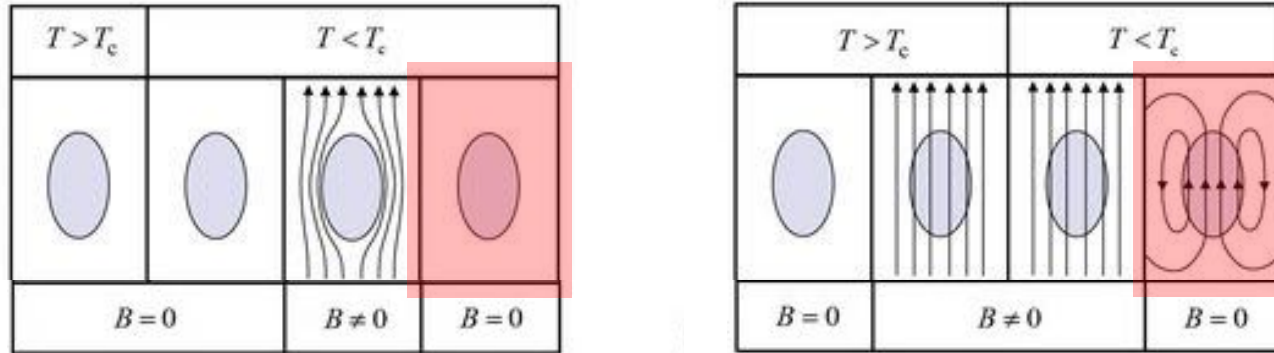




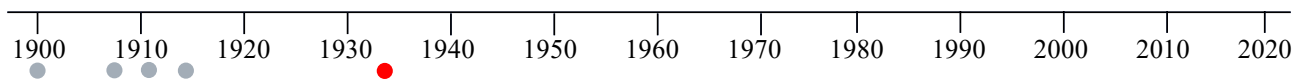


# Verhalten im Magnetfeld: Meissner Ochsenfeld-Effekt (1933)

Idealer Leiter mit  $R = 0$       Lenz'sche Regel: Abschirmung      induzierte Ströme



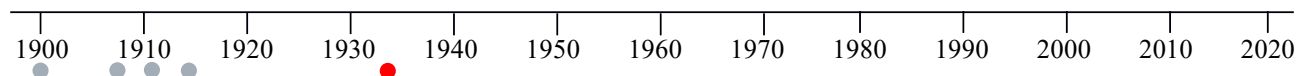
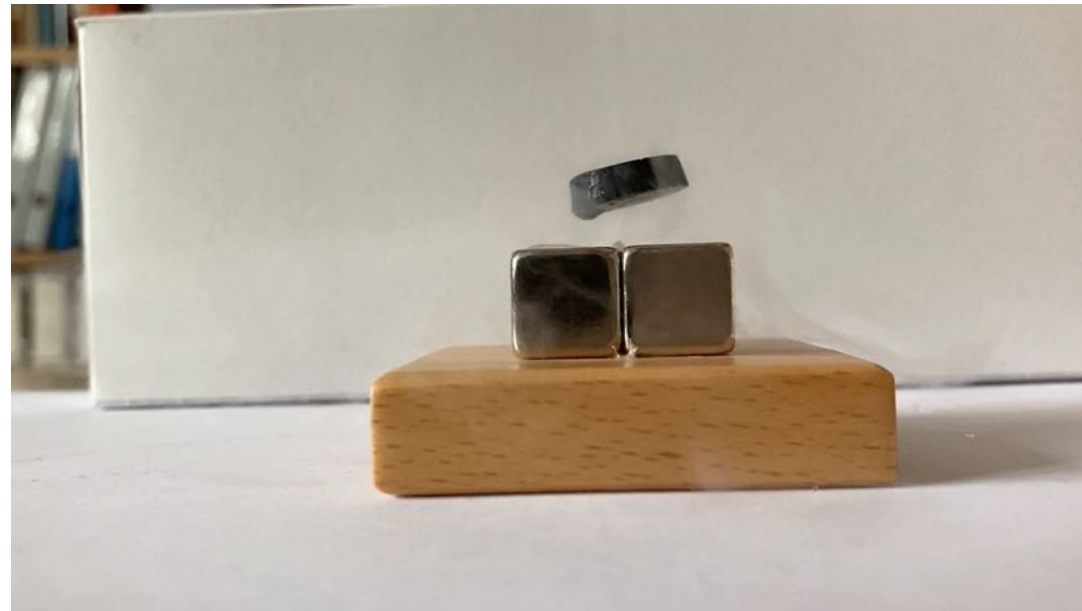
Supraleiter: Meissner-Ochsenfeld Effekt (1933)





## Verhalten im Magnetfeld: Meissner Ochsenfeld-Effekt (1933)

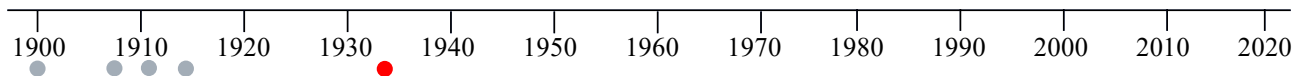
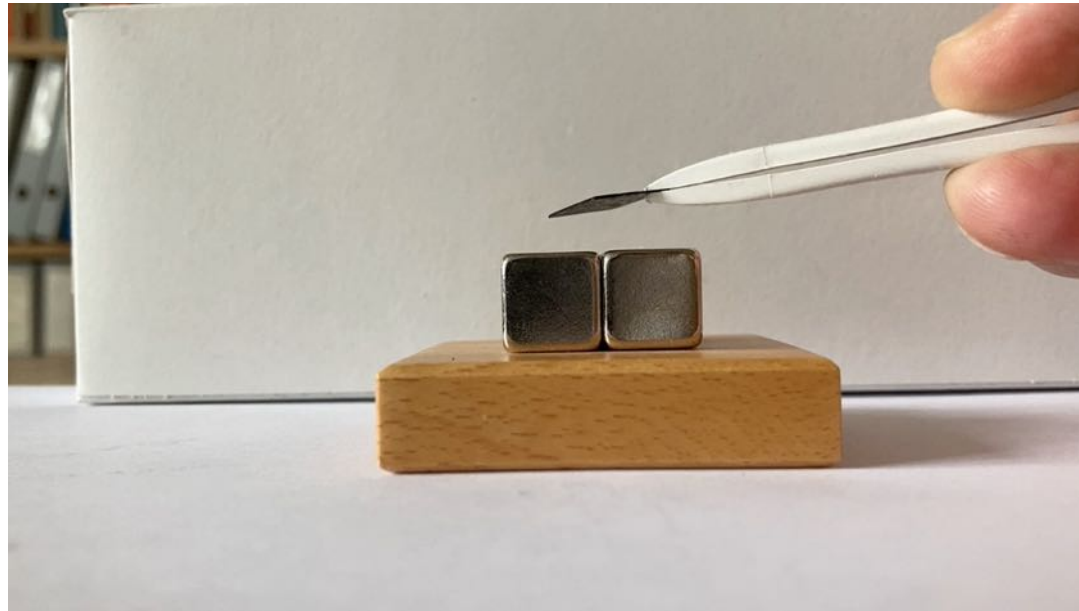
**Supraleiter:  
ideale Diamagneten**





## Nicht jeder Diamagnet ist ein Supraleiter.....

Pyrolytisches  
Graphit





## Erklärung des Meissner Ochsenfeld-Effektes: London Gleichungen (1934)

Anstelle des Ohm'schen Gesetzes ( $I = U/R$ ),

$$\vec{j} = \sigma \vec{E}$$
$$= -e n \vec{v}$$

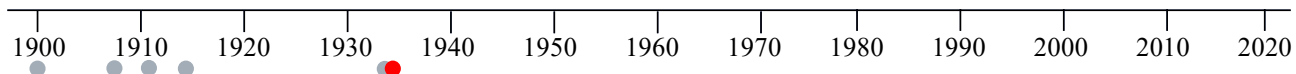
$E$ : Elektronenladung  
 $n$ : Ladungsträgerdichte  
 $v$ : Driftgeschwindigkeit

2. Newtonsches Gesetz:  $F = ma$  ohne Reibungseffekte:

$$\vec{F} = m\vec{a} = m \frac{d\vec{v}}{dt} = - \frac{m}{e n} \frac{d\vec{j}}{dt}$$
$$-e\vec{E} \quad (\text{Coulombkraft})$$

$$\frac{d\vec{j}}{dt} = \frac{ne^2}{m} \vec{E}$$

1. London Gleichung





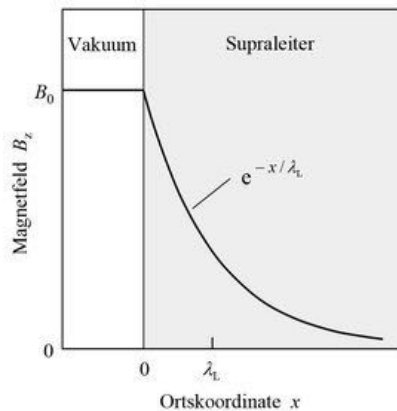
## Erklärung des Meissner Ochsensfeld-Effektes: London Gleichungen (1934)

$$(1 \text{ dim:}) \frac{d^2}{(dx)^2} B_z = \frac{\mu_0 n q^2 B_z}{m} = \frac{B_z}{\lambda_L^2}$$

2. London Gleichung

$$\lambda_L = \sqrt{\frac{m}{\mu_0 n q^2}}$$

London'sche Eindringtiefe



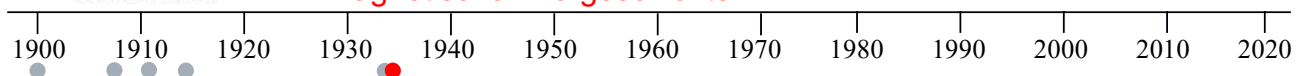
$$B_z(x) = B_0 e^{-x/\lambda_L}$$

....unabhängig von der  
magnetischen Vorgeschichte

Maxwell-Gleichungen

$$\frac{d\vec{j}}{dt} = \frac{ne^2}{m} \vec{E}$$

1. London Gleichung





## Supraleitung: «Zustand» im Sinne der Thermodynamik

Wärmekapazität  
zeigt eine  
Diskontinuität  
(2. Ordnungs-  
Phasenübergang)

Keesom and Kok (1932)

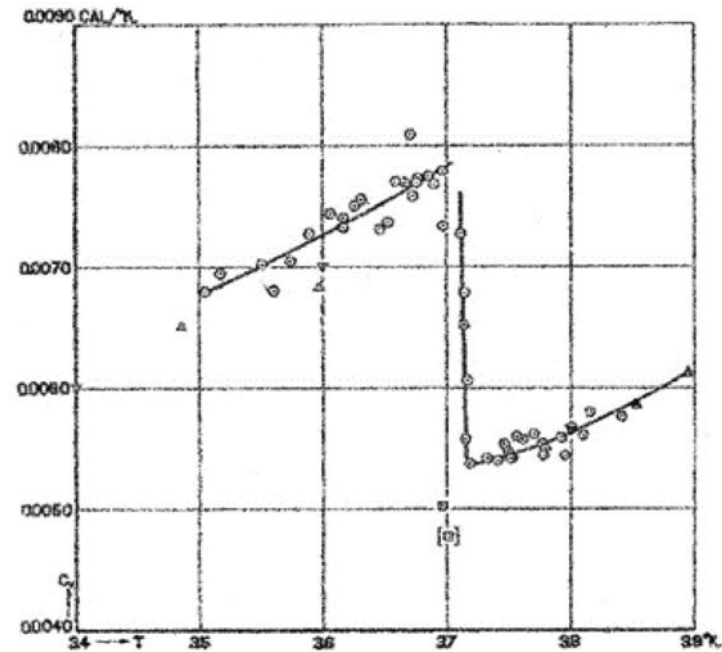
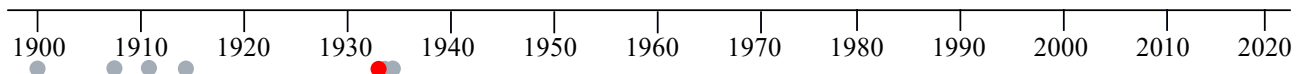


Fig. 3. A discontinuous change in specific heat at  $T_c$  for tin - Keesom and Kok [10].





## Supraleitung: «Zustand» im Sinne der Thermodynamik

### 2. Ordnungs-Phasenübergang

THEORY OF PHASE TRANSITIONS

90 YEARS



#### ON THE THEORY OF PHASE TRANSITIONS

Translated and reprinted from Landau L.D. "Collected Papers" (Nauka, Moscow, 1969),  
Vol. 1, pp. 234–252. Originally published in Zh. Eksp. Teor. Fiz. 7, pp. 19–32 (1937)

L. LANDAU

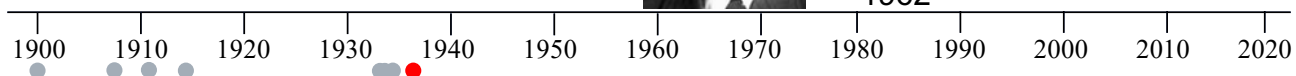
Ukrainian Physico-Technical Institute, Academy of Sciences of the Ukrainian SSR  
(Kharkov, Ukraine)

Konzept des „Ordnungsparameters“

Lew Landau (1937)



1962





## Ginzburg-Landau Theorie (1950)

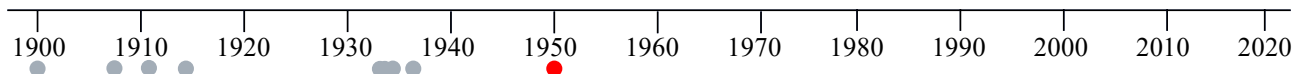
$$\alpha\psi + \beta|\psi|^2\psi + \frac{1}{2m^*} \left( -i\hbar\vec{\nabla} + 2e\vec{A} \right)^2 \psi = 0 \text{ und}$$

$$\vec{j} = -\frac{2e}{m^*} \text{Re} \left\{ \psi^* \left( -i\hbar\vec{\nabla} + 2e\vec{A} \right) \psi \right\}.$$

„Ordnungsparameter“: Makroskopische Wellenfunktion im Sinne Schrödingers

**Ginzburg-Landau Theorie der Supraleitung (1950)**

Entwicklung um kritische Temperatur:  $\alpha(T) = \alpha_0 (T - T_c)/T_c$







## Ginzburg-Landau Theorie (1950)

$$\alpha\psi + \beta|\psi|^2\psi$$

$$|\psi|^2 = -\alpha/\beta$$

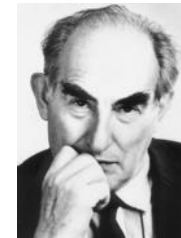
Dichte der supraleitenden  
Ladungsträger

Zwei Längenskalen:

$$\lambda = \sqrt{\frac{m\beta}{\mu_0\alpha q^2}} = \lambda_L$$

$$\xi = \frac{\hbar}{\sqrt{2m|\alpha|}}$$

„Kohärenzlänge“



Valeri Ginzburg

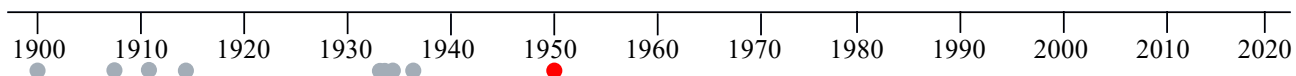


2003

„Ordnungsparameter“: Makroskopische Wellenfunktion im Sinne Schrödingers

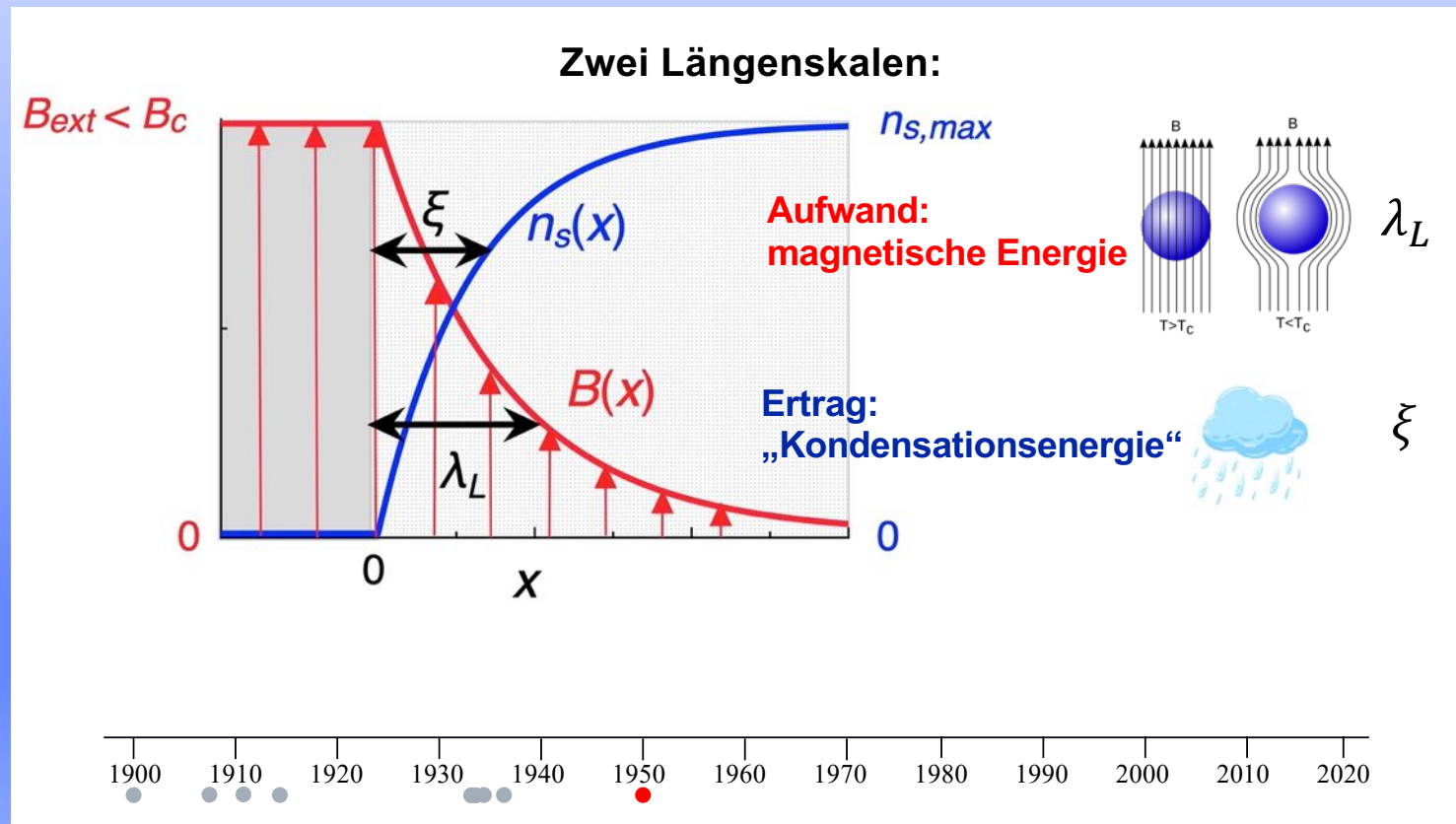
### Ginzburg-Landau Theorie der Supraleitung (1950)

Entwicklung um kritische Temperatur:  $\alpha(T) = \alpha_0 (T - T_c)/T_c$





## Ginzburg-Landau Theorie (1950)



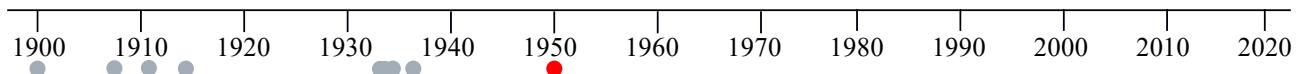
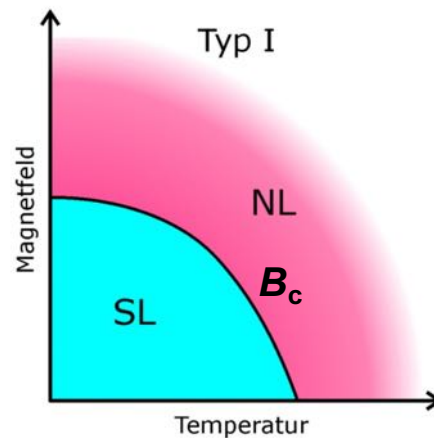


## Ginzburg-Landau Theorie (1950)

### Zwei Längenskalen:

$\xi \gtrsim \lambda_L$ : Grenzfläche kostet viel Kondensationsenergie, gewinnt wenig Magnetfeldenergie: **Typ-I**

Magnetfeld wird für  $B < B_c$  (ausser an der Oberfläche) vollständig verdrängt





## Abrikosov: Vortextgitter (1957)

### Zwei Längenskalen:

$\xi \ll \lambda_L$ : Grenzfläche kostet wenig **Kondensationsenergie**, gewinnt viel **Magnetfeldenergie**: **Typ-II**

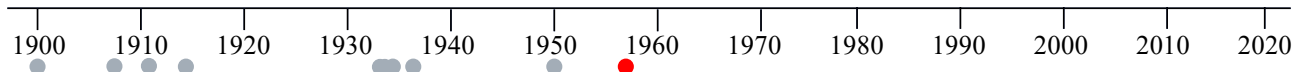
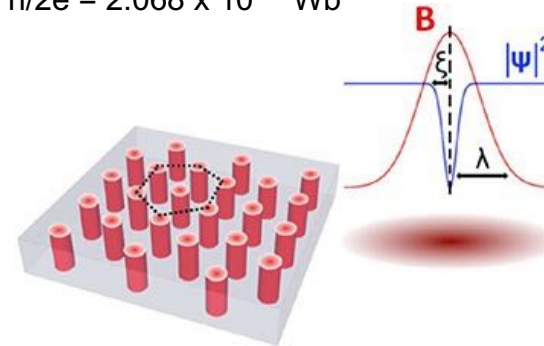
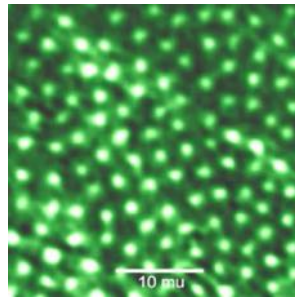
Vergößerung der Grenzfläche für  $B_{c1} < B < B_c$  durch Bildung von "Flussschläuchen" (Vortices)

Magnetisches Flussquantum:  $\Phi = h/2e = 2.068 \times 10^{-15} \text{ Wb}$



2003

Alexei Abrikosov





## Abrikosov: Vortextgitter (1957)

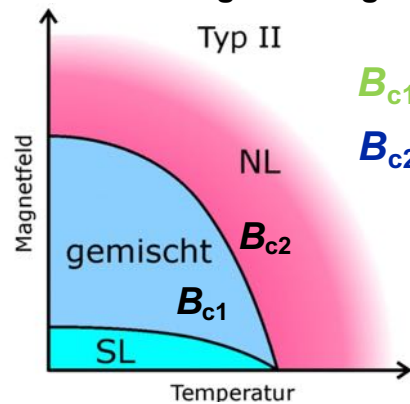
Typ-II Supraleiter: Zwei “kritische Felder”,  $B_{c1}$  und  $B_{c2}$

$B < B_{c1}$  : Meissner Effekt

$B > B_{c2}$  : normalleitend

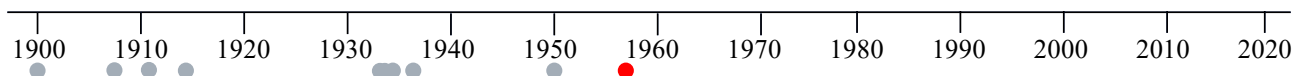
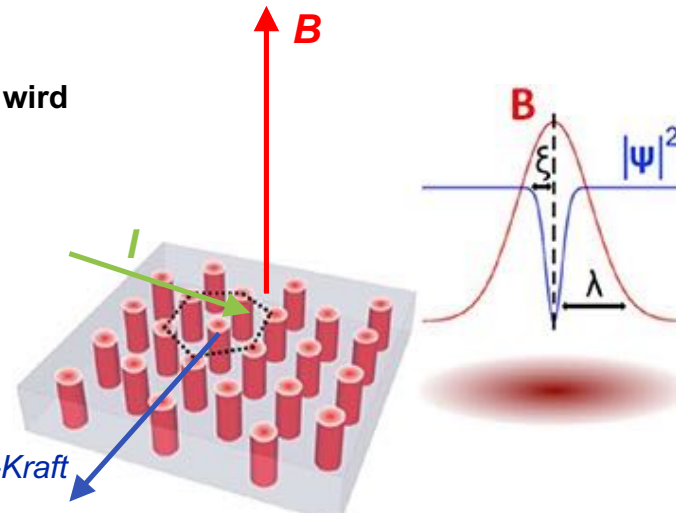
$B_{c1} < B < B_{c2}$  : gemischter Zustand mit Flussschläuchen

Dort: hohe technische Stromdichten  
sobald das Vortextgitter festgehalten (“gepinnt”) wird



$B_{c1}$  : prop.  $1/\lambda^2$

$B_{c2}$  : prop.  $1/\xi^2$





## Thomson Koeffizient – Hinweis auf eine Energielücke (1945)

### Supraleitender Strom transportiert keine Wärme: «Thomson Koeffizient» = 0 im supraleitenden Zustand

An experiment on the mechanism of superconductivity

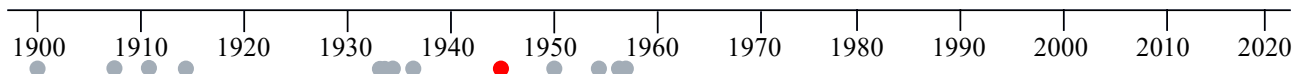
By J. G. DAUNT AND K. MENDELSSOHN, *Clarendon Laboratory, Oxford*

(Communicated by F. E. Simon, F.R.S.—Received 3 January 1945)

The Thomson coefficient of superconductive lead has been determined by a direct experiment and found to be zero ( $< 4 \times 10^{-9}$  V/deg.). It has been concluded from this result that the electrons engaged in a superconductive current remain energetically at absolute zero. The apparent electronic specific heat of a superconductor is assumed to be due to an excitation of electrons from the lowest state. The magnetic data suggest that this apparent specific heat is proportional to  $T^3$ .

A purely empirical model of the electronic term system for a superconductor has been suggested in which a small energy gap ( $\sim 10^{-4}$  eV) separates the upper limit of the Fermi distribution at absolute zero from a continuum of higher states. The frictionless transport of electrons is supposed to be due to metastable states within the gap in which energy cannot be dissipated. In such a model the number of superconductive electrons at absolute zero has been calculated to be of the order of  $10^{-3}$  of the number of atoms.

Attention has been drawn to a peculiar similarity between the frictionless transport in superconductors and that in liquid helium II. It has been concluded that the cause for both phenomena may be essentially the same—an aggregation of freely mobile particles of zero thermal energy which follows similar rules irrespective of the nature of the particles involved.





## Wärmekapazität – Hinweis auf eine Energielücke (1954)

Zweiflüssigkeitsmodell (Gorter, Casimir, 1934):

$$\frac{C_{el,s}(T)}{C_{el,n}(T_c)} = 3 \left( \frac{T}{T_c} \right)^3$$

Corak et al, (1954):

$$\frac{C_{el,s}(T)}{C_{el,n}(T_c)} = a e^{-b \left( \frac{T_c}{T} \right)}$$

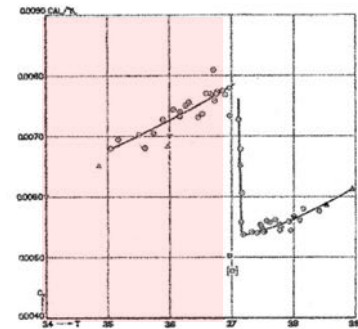


Fig. 3. A discontinuous change in specific heat at  $T_c$  for tin - Keesom and Kik [10].

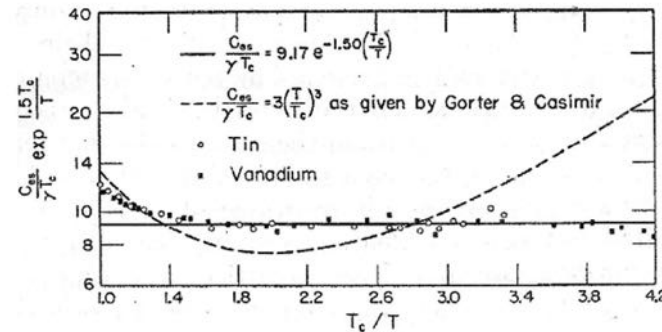
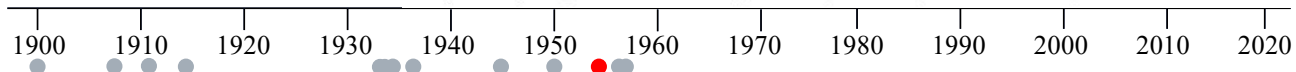


Fig. 7. Fits to  $C_{es}$  of vanadium and tin supported an exponential temperature- over a  $T^3$ - dependence - Corak and Satterthwaite [17].









## Isotopeneffekt (1950): Elektronen wechselwirken mit Gitterschwingungen

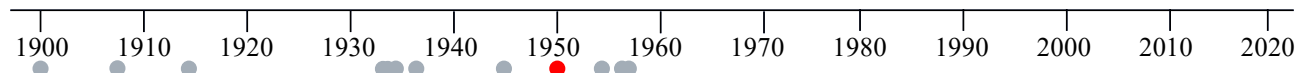
### Wave Functions for Superconducting Electrons

JOHN BARDEEN

*Bell Telephone Laboratories, Murray Hill, New Jersey*

(Received July 17, 1950)

The observed variation of the transition temperature of mercury with isotopic mass is evidence that the superconducting state arises from interaction of electrons with lattice vibrations. The interaction term which gives scattering of electrons at high temperatures contributes at low temperatures a term to the energy of the system of electrons plus normal modes. Fröhlich has calculated the interaction energy at  $T=0^{\circ}\text{K}$  by second-order perturbation theory. The energy is calculated here by taking wave functions of superconducting electrons, which have energies near the Fermi surface, as linear combinations of Bloch functions whose coefficients are functions of coordinates of the normal modes. In an equivalent approximation, Fröhlich's expression for the interaction energy is obtained. When the energy is calculated directly rather than by perturbation theory, modified expressions are obtained for the energy and distribution of electrons in the superconducting state. The criterion for superconductivity is  $\hbar/\tau > \sim 2\pi\kappa T$ , where  $\tau$  is the relaxation time for electrons at some high temperature  $T$  where  $\tau T$  is constant. It is shown that superconducting electrons have small effective mass.





## Paarbildung (1956) durch anziehende Wechselwirkung

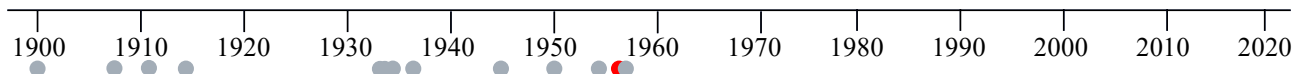
### Bound Electron Pairs in a Degenerate Fermi Gas\*

LEON N. COOPER

*Physics Department, University of Illinois, Urbana, Illinois*

(Received September 21, 1956)

**I**T has been proposed that a metal would display superconducting properties at low temperatures if the one-electron energy spectrum had a volume-independent energy gap of order  $\Delta \simeq kT_c$ , between the ground state and the first excited state.<sup>1,2</sup> We should like to point out how, primarily as a result of the exclusion principle, such a situation could arise.





# BCS Theorie (1957): Detaillierte mikroskopische Theorie



John Bardeen, Leon Cooper und Robert Schrieffer

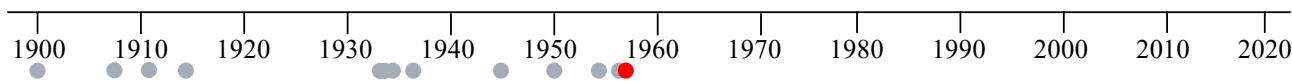
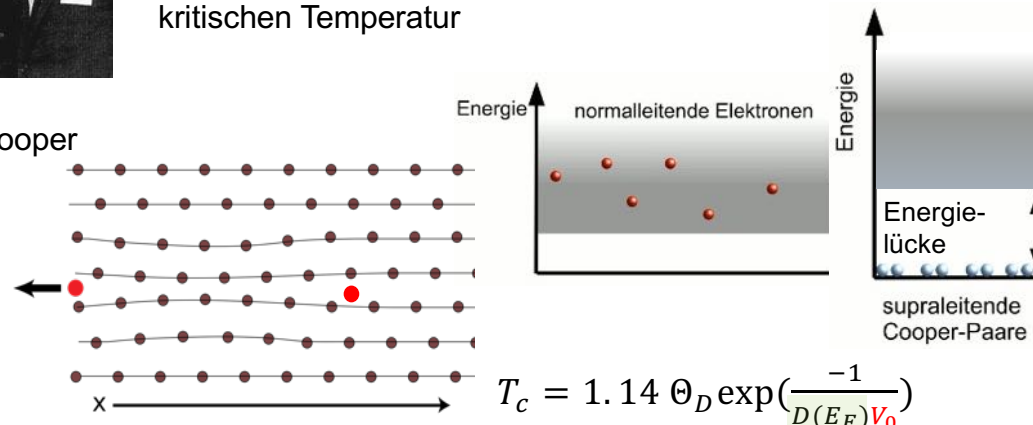


1972

Jede anziehende Wechselwirkung (« $V_0$ ») zwischen Elektronen Führt zur Bildung von sog. Cooper-Paaren

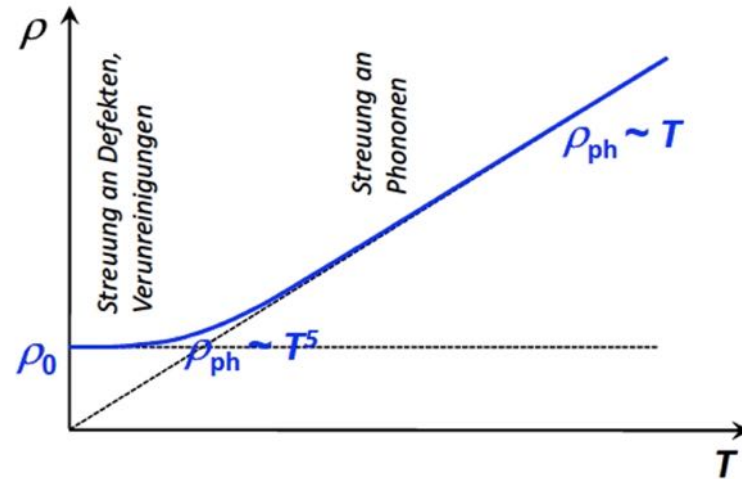
Diese Anziehung erfolgt in konventionellen Supraleitern via Schwingungen des Kristallgitters («Phononen»)

Erklärung von Energielücke, Isotopeneffekt und Grösse der kritischen Temperatur





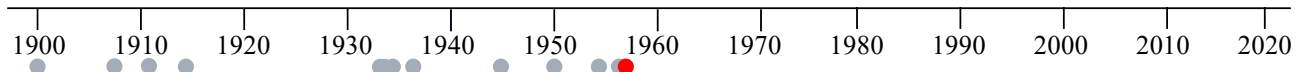
## BCS Theorie (1957): Detaillierte mikroskopische Theorie



$$\rho(T) = \rho_0 + \lambda \frac{\pi k_B \Theta_D m_e}{8e^2 \hbar n_e} \left( \frac{T}{\Theta_D} \right)^5 \int_0^{\Theta_D/T} \frac{x^5}{(e^x - 1)(1 - e^{-x})} dx \quad (\text{Bloch - Grüneisen})$$

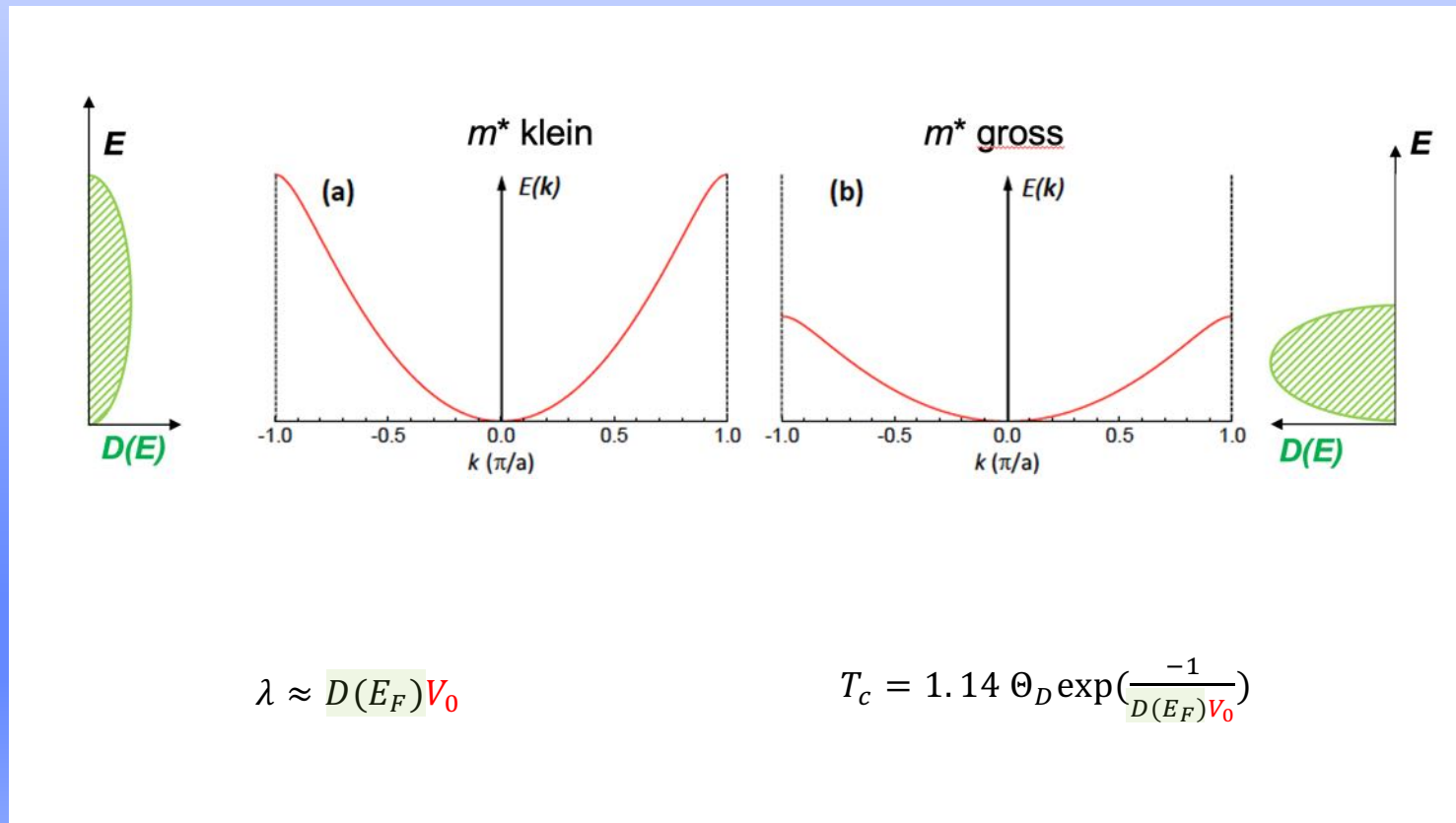
$\lambda$  ..... Mass für die Stärke der Elektron - Phonon Wechselwirkung

$$\lambda \approx D(E_F) V_0 \quad T_c = 1.14 \Theta_D \exp\left(\frac{-1}{D(E_F) V_0}\right)$$





## Flache Energiebänder, hohe elektronische Zustandsdichte bei $E_F$ ....

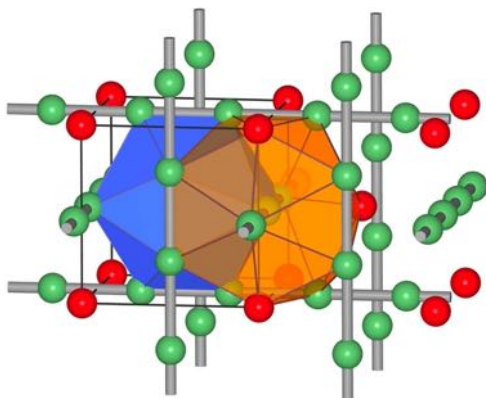




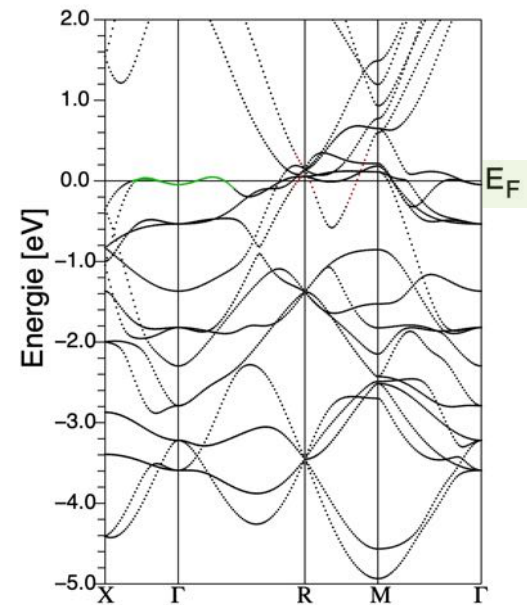
## Flache Energiebänder, hohe elektronische Zustandsdichte bei $E_F$ ....

$\text{Nb}_3\text{Sn}$

$T_c \approx 18.3 \text{ K}$



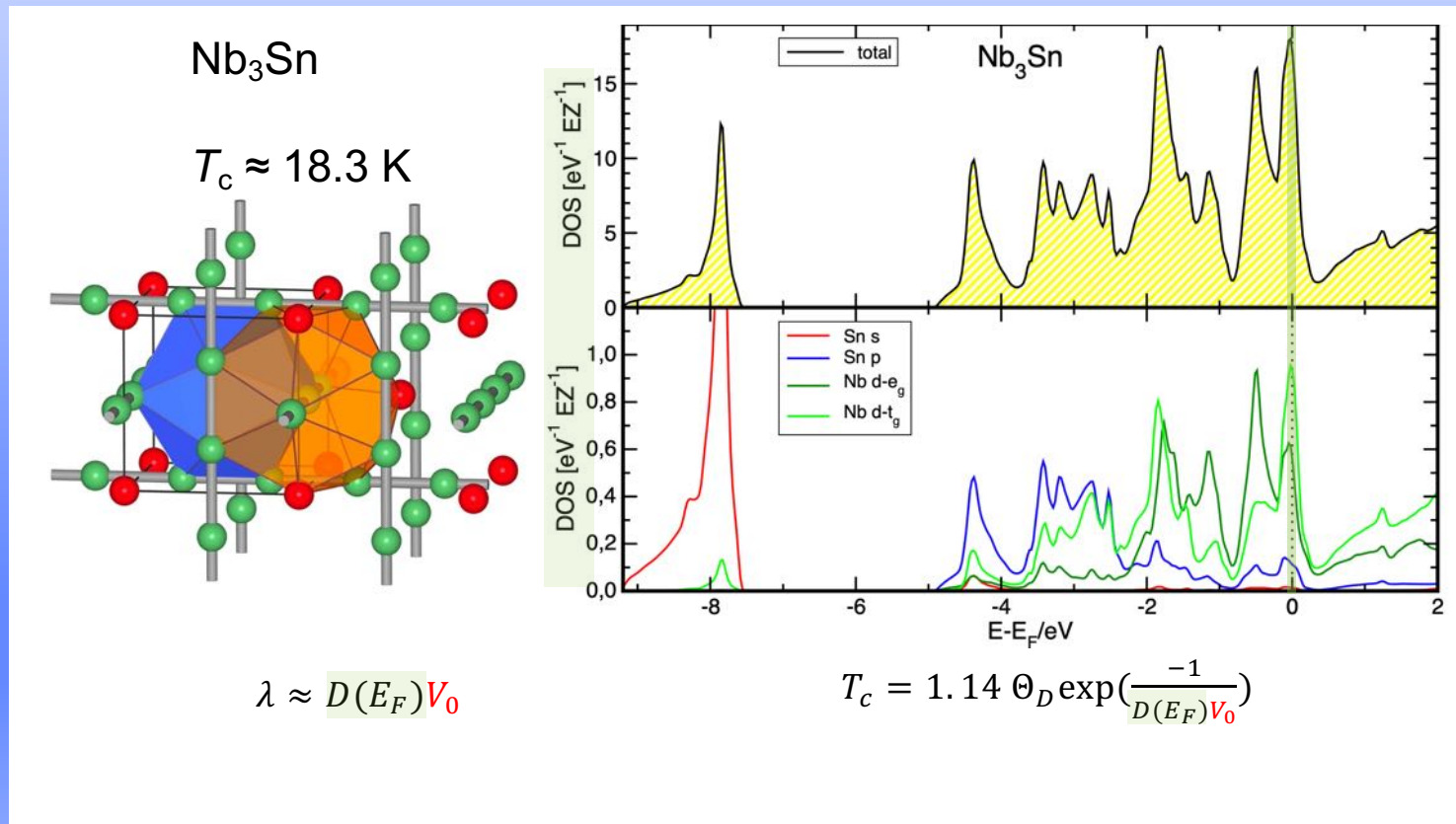
$$\lambda \approx D(E_F)V_0$$



$$T_c = 1.14 \Theta_D \exp\left(\frac{-1}{D(E_F)V_0}\right)$$



## Flache Energiebänder, hohe elektronische Zustandsdichte bei $E_F$ ....







# Tunneleffekte (1960)



Ivar Giaever



1973

## Tunneleffekte in Supraleiter-Isolator-Supraleiter Übergängen - Bestimmung der Energielücke

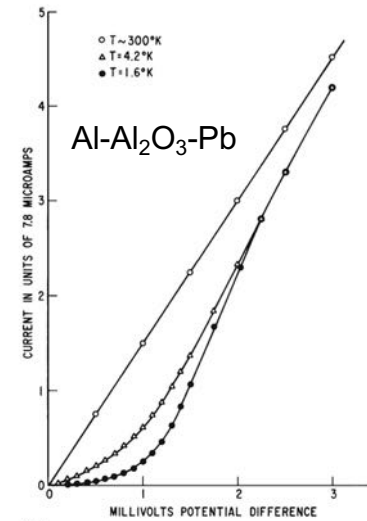
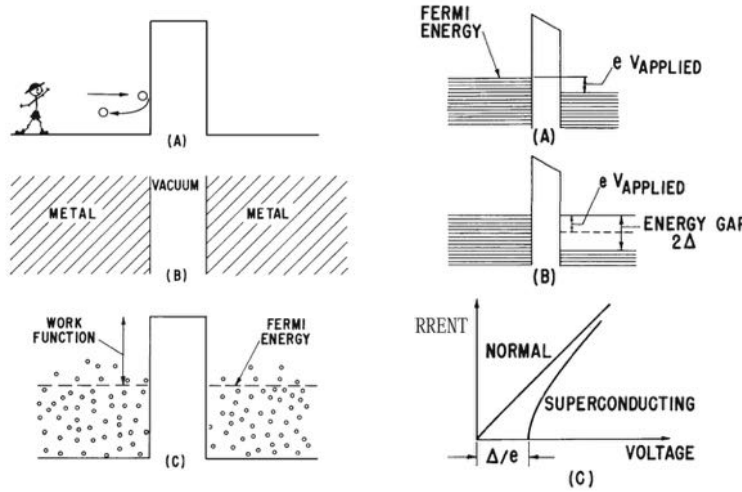
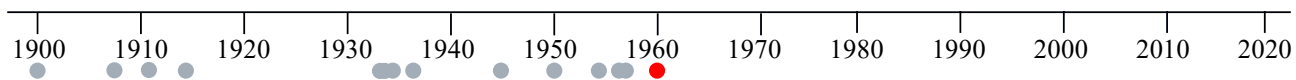


Fig. 7. The current-voltage characteristic of an aluminum-aluminum oxide-lead sample. As soon as the lead becomes superconducting the current ceases to be proportional to the voltage. The large change between 4.2° K and 1.6° K is due to the change in the energy gap with temperature. Some current also flows at voltages less than  $\Delta/e$  because of thermally excited electrons in the conductors.







# Josephson effekte (1962)



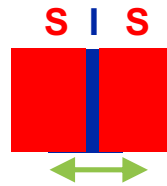
Brian Josephson



1973

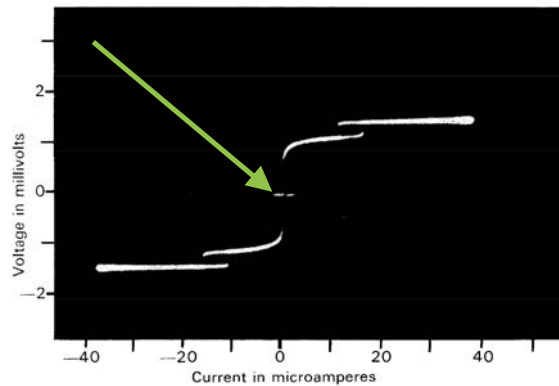
«d.c.» Josephson Effekt:

Supraleitender Tunnelgleichstrom ohne angelegte Spannung durch isolierende Barriere



«a.c.» Josephson Effekt:

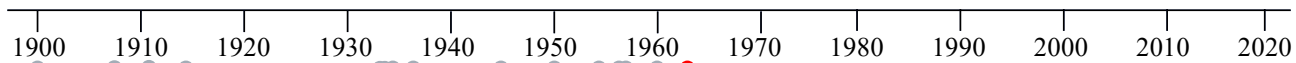
Supraleitender Tunnelwechselstrom bei angelegter Spannung V



Frequenz:  $f = 2eV/h$

Josephson-Volt-standard

Grundlage von supraleitenden Detektoren (SQUID's)





## Kritische Temperatur der Elemente

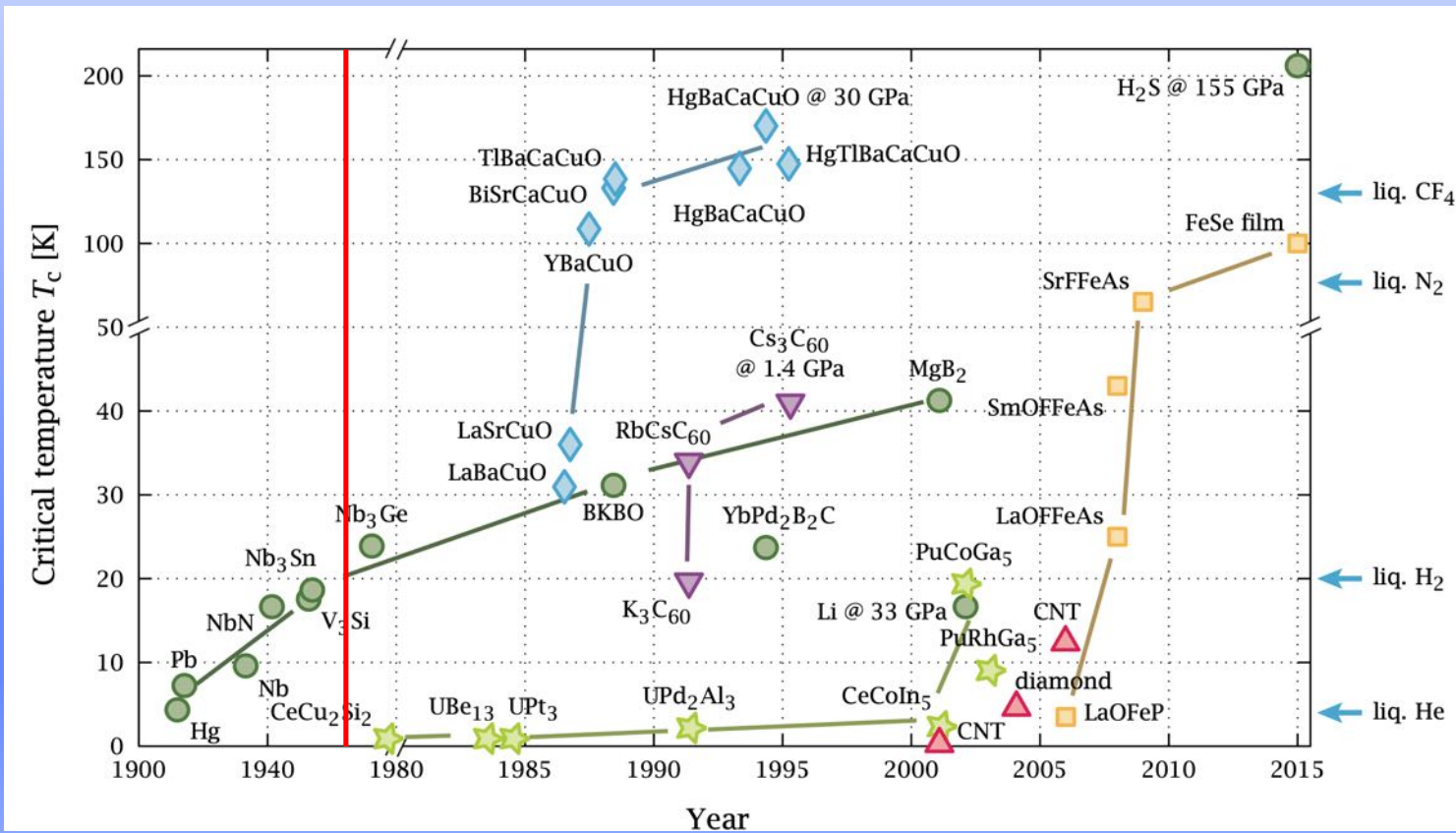
### Supraleitfähigkeit bei metallischen Elementen

Li		Be		Ti												B	C	N	O	F	Ne		
		0.026		0.39		Sprungtemperatur [K]																	
				100		kritisches Magnetfeld [Gauss]																	
Na		Mg														Al		Si	P	S	Cl	Ar	
																1.140							
																105							
K	Ca	Sc	Ti	V	Cr	Mn	Fe	Co	Ni	Cu	Zn	Ga	Ge	As	Se	Br	Kr						
			0.39	5.38							0.875	1.091											
			100	1420							53	51											
Rb	Sr	Y	Zr	Nb	Mo	Tc	Ru	Rh	Pd	Ag	Cd	In	Sn	Sb	Te	I	Xe						
			0.546	9.50	0.92	7.77	0.51	0.0003			0.56	3.4035	3.722										
			47	1980	95	1410	70	0.049			30	293	309										
Cs	Ba	La	Hf	Ta	W	Re	Os	Ir	Pt	Au	Hg	Tl	Pb	Bi	Po	At	Rn						
			6.00	0.12	4.483	0.012	1.4	0.655	0.14		4.153	2.39	7.193										
			1100		830	1.07	198	65	19		412	171	803										
Fr	Ra	Ac	Ce	Pr	Nd						Yb	Lu											
												0.1											
			Th	Pa	U																		
			1.368	1.4																			
			1.62																				

keine Supraleiter  
 Supraleiter unter Druck



## Kritische Temperatur vs. Zeit (bis 2015)





## Wie neue Supraleiter finden? Matthias Regeln....

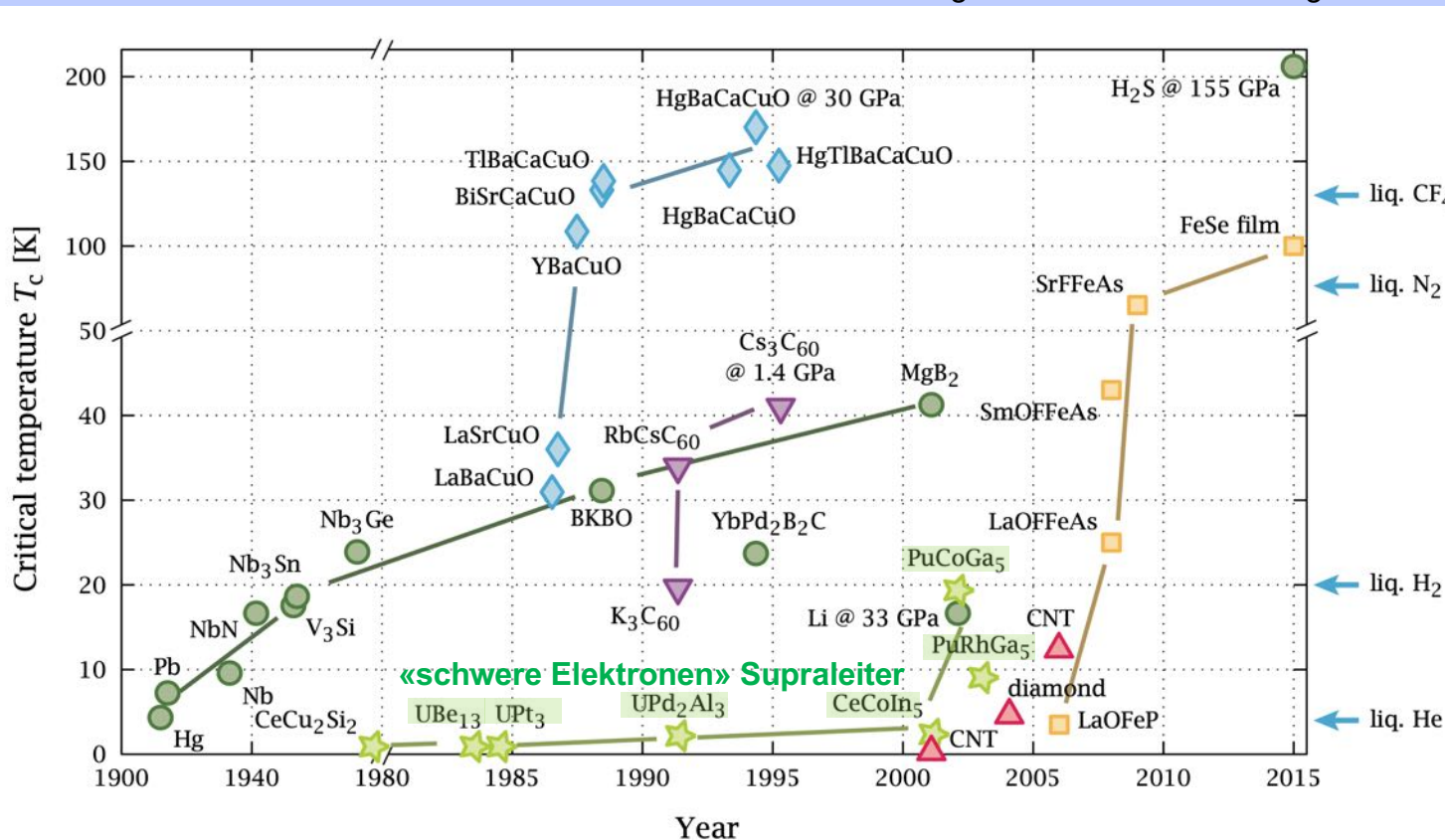
The screenshot shows the Wikipedia page for 'Matthias rules'. The page title is 'Matthias rules' and it is categorized as an 'Article'. The main content is a list of six guidelines for finding superconductors, which are highlighted in a light blue box in the image:

1. High **symmetry** is good, **cubic symmetry** is the best.
2. High density of electronic states is good.
3. Stay away from **oxygen**.
4. Stay away from **magnetism**
5. Stay away from **insulators**.
6. Stay away from **theorists!**



## «schwere Elektronen» Supraleiter

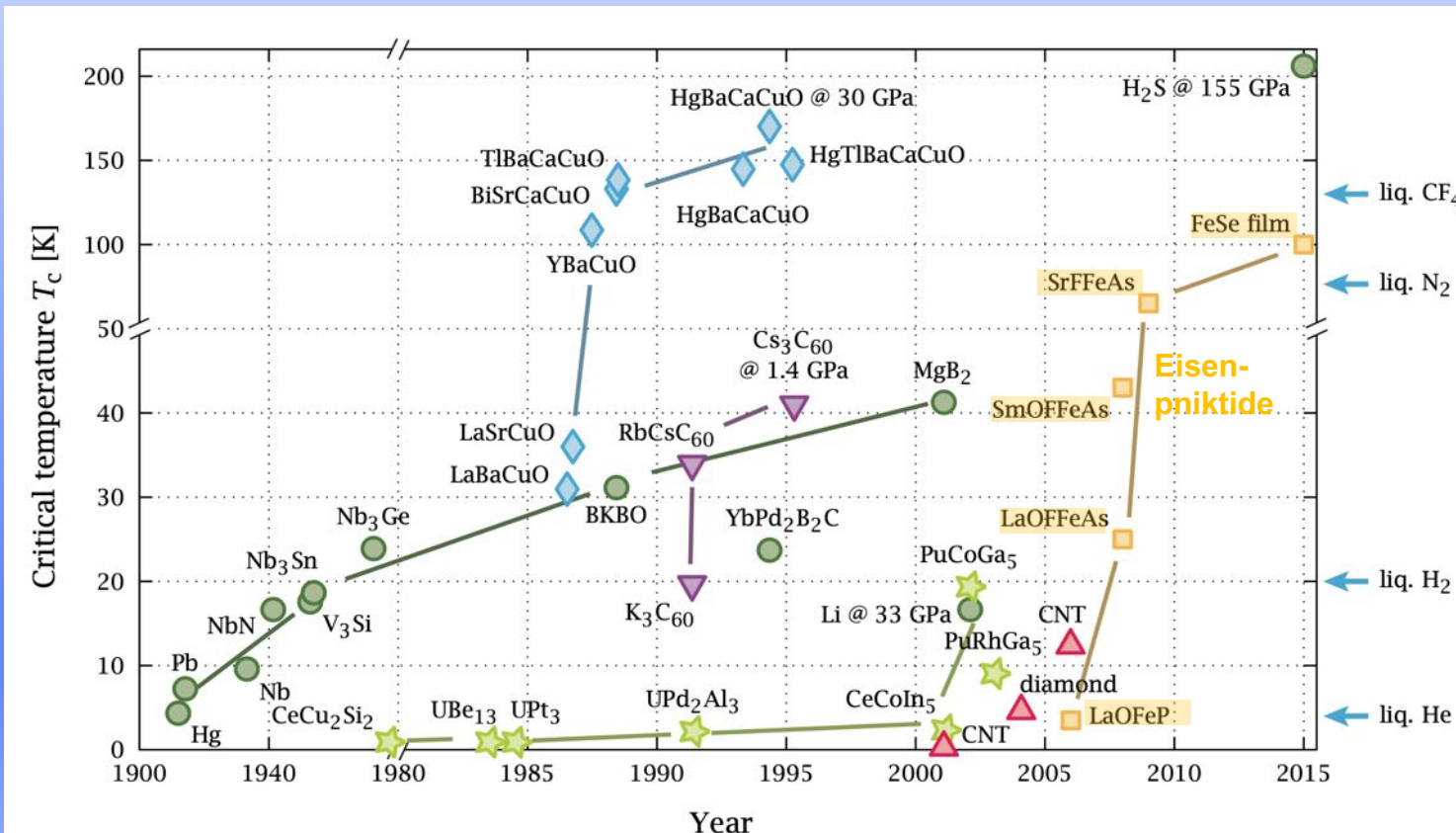
- Intermetallische Verbindungen mit Cer, Uran oder Plutonium
- Fast delokalisierte "f-Elektronen", **hohe effektive Masse  $m^*$**
- magnetische Wechselwirkung mit den Leitungselektronen





# Eisenpniktide

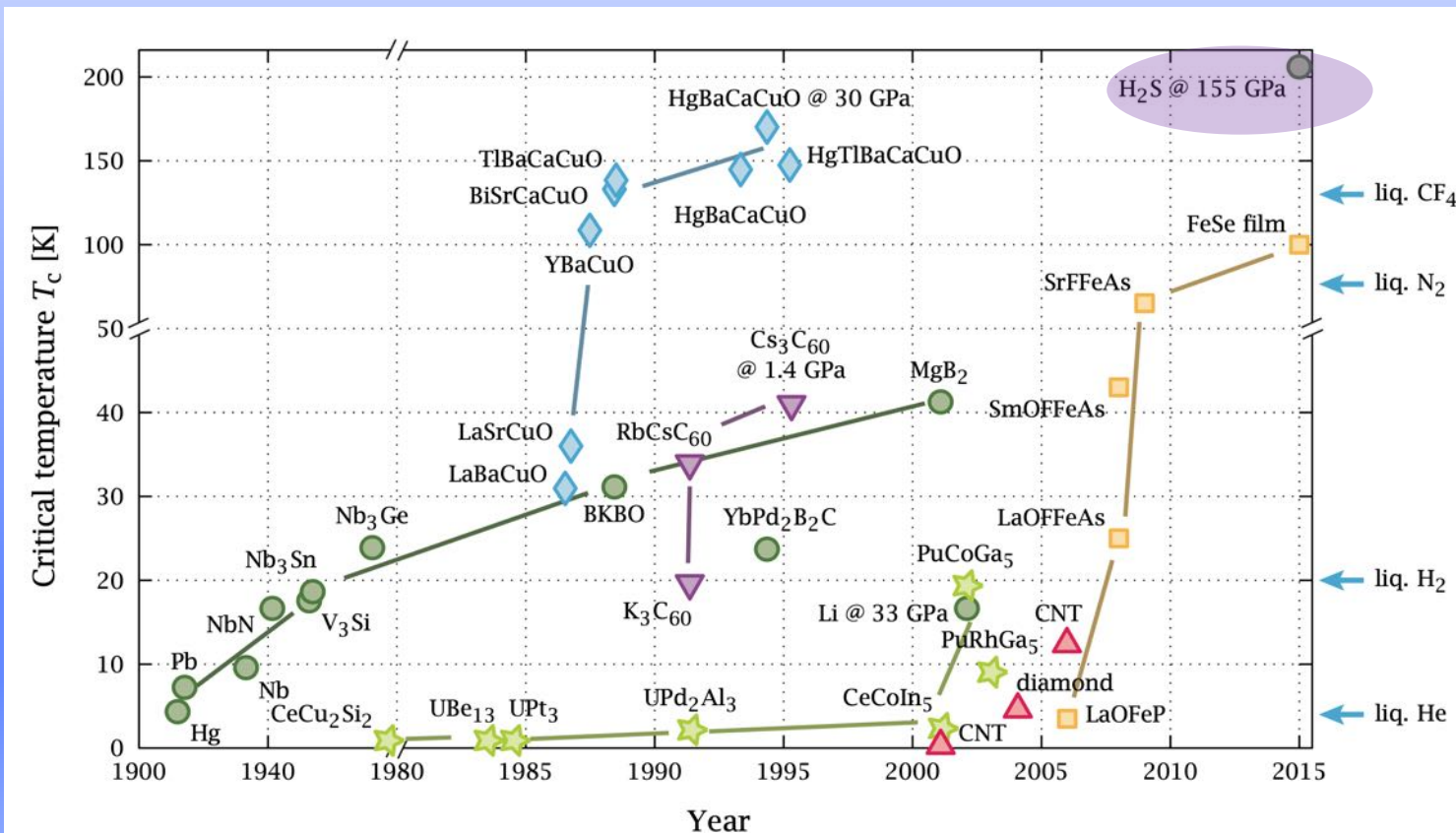
- Meist geschichtete Eisen-Arsen oder Phosphor-Verbindungen
- Mechanismus: ??





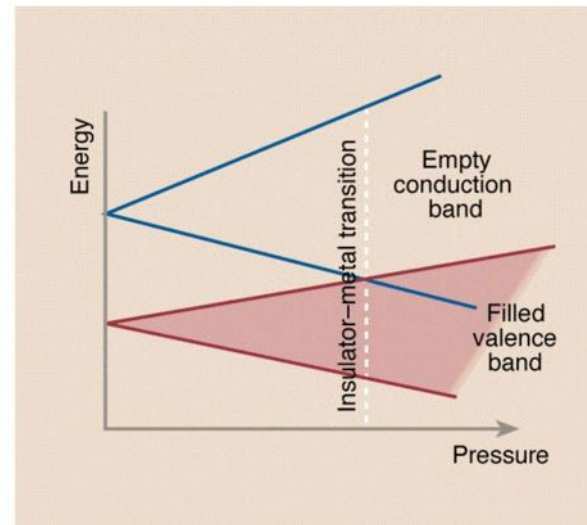
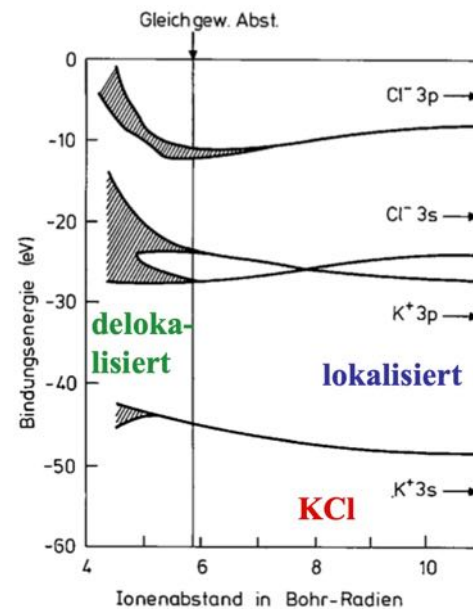


## Wasserstoffverbindungen unter extremem Druck





## Wasserstoffverbindungen unter extremem Druck



### Metalle:

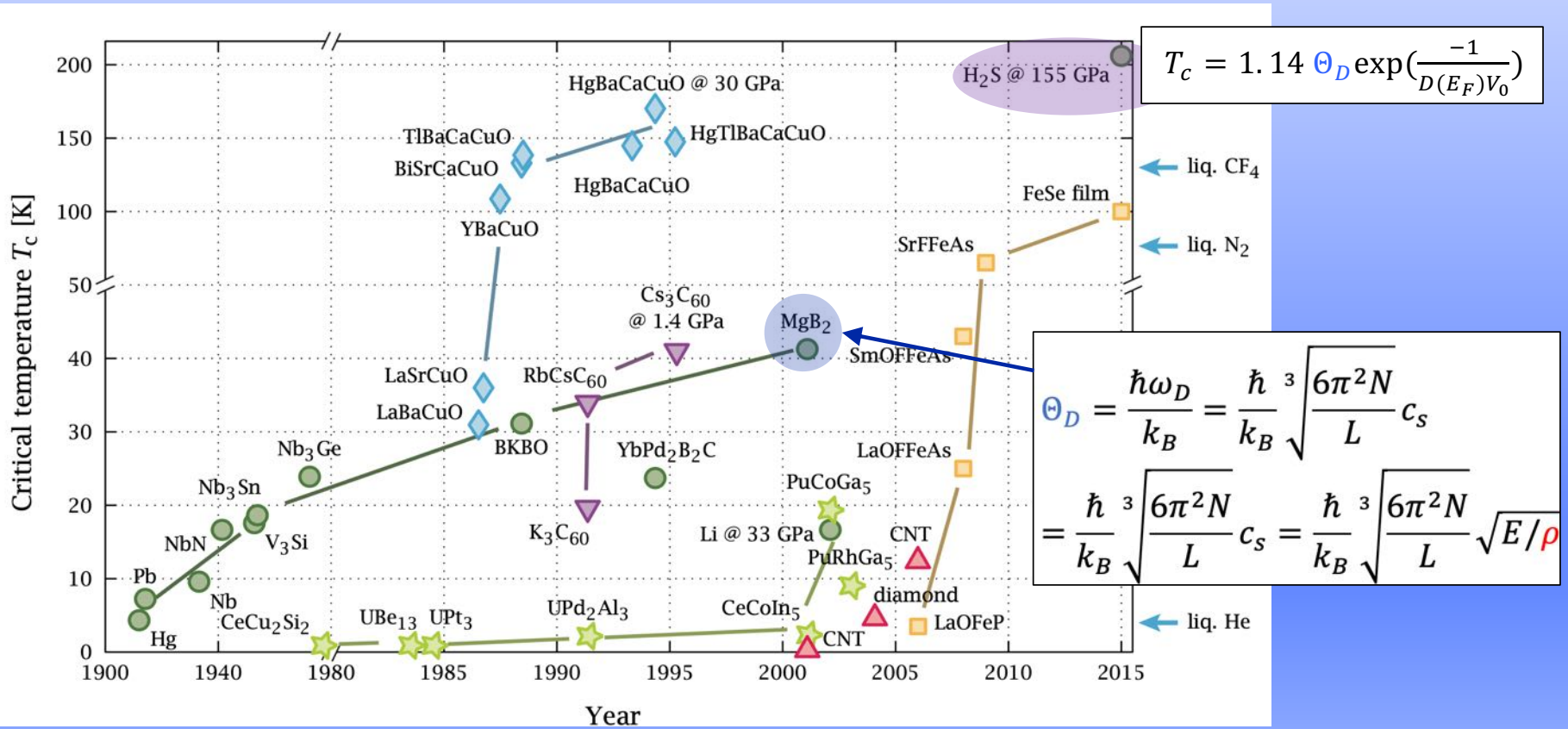
#### Wasserstoff-"Metall":

Übergang vom Isolator zum Metall erwartet, sobald Gitterkonstante  $a \leq 4.5r_{\text{Bohr}}$ ,  
= Mott'scher Metall-Isolator Übergang.





### ... harte Materialien mit leichten Elementen



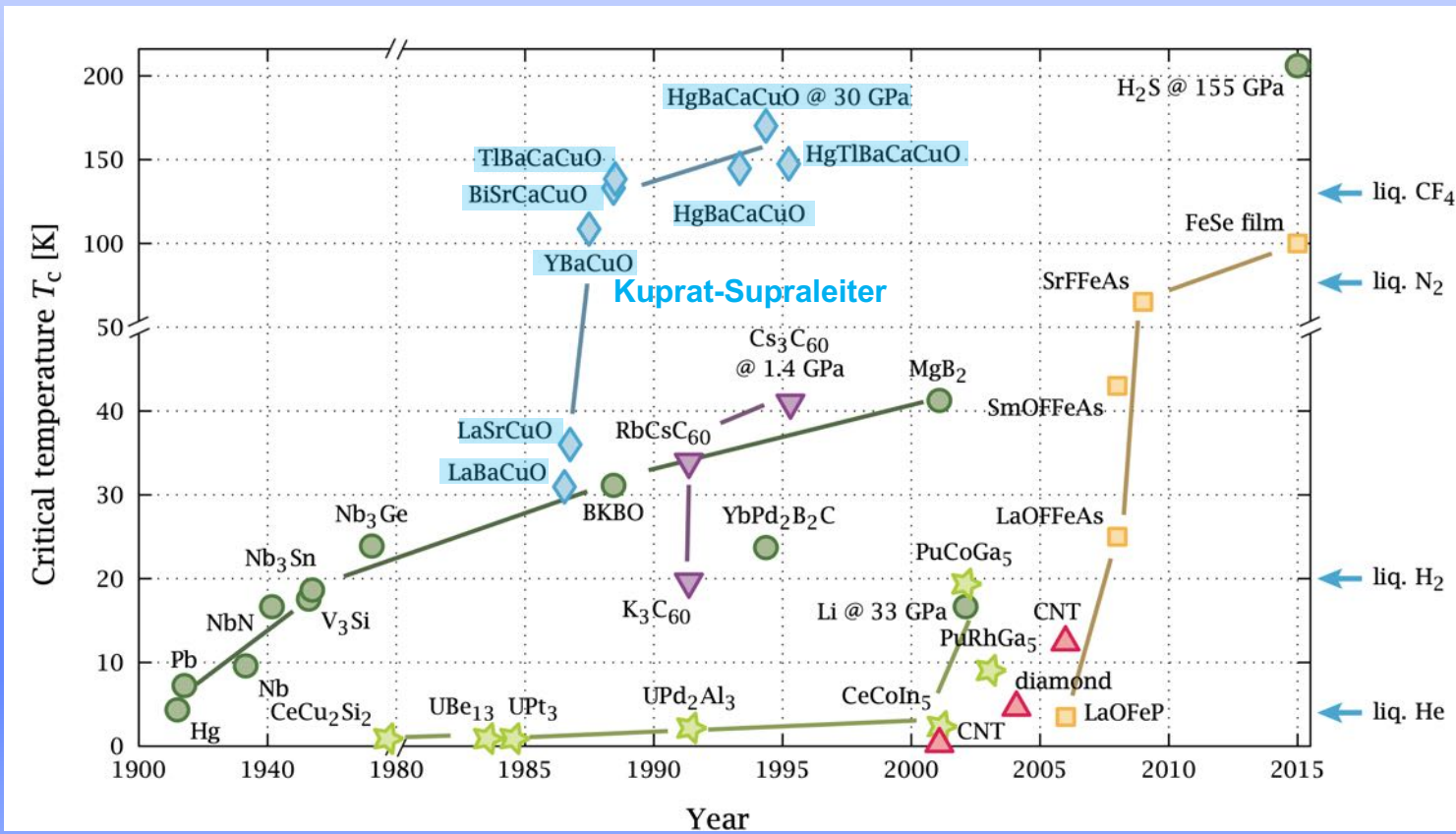
$$T_c = 1.14 \Theta_D \exp\left(\frac{-1}{D(E_F)V_0}\right)$$

$$\Theta_D = \frac{\hbar\omega_D}{k_B} = \frac{\hbar}{k_B} \sqrt{\frac{6\pi^2 N}{L}} c_s$$

$$= \frac{\hbar}{k_B} \sqrt{\frac{6\pi^2 N}{L}} c_s = \frac{\hbar}{k_B} \sqrt{\frac{6\pi^2 N}{L}} \sqrt{E/\rho}$$



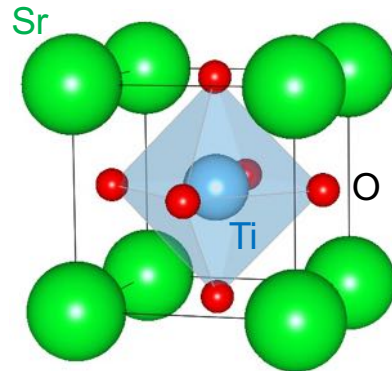
## Kuprat-Supraleiter





## Keramische Oxid-Supraleiter

«Perovskite»  $\text{SrTiO}_3$



(1964)

Metallische Leitfähigkeit erst durch «Dotierung» → gemischte Valenzen

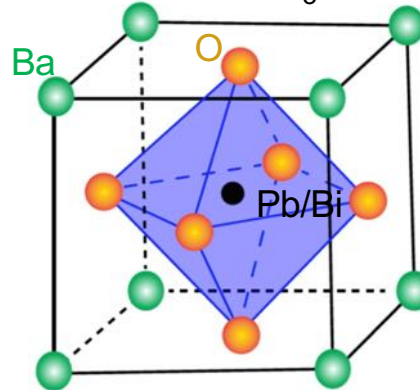
.....z.B. mit Nb

$$T_c \approx 0.5 \text{ K}$$

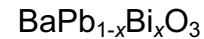
Ladungsträgerkonzentration

$$\approx 10^{26} / \text{m}^3 \text{ (} 6 \times 10^{-3} \text{ pro Ti Atom!)}$$

$\text{BaPbO}_3$



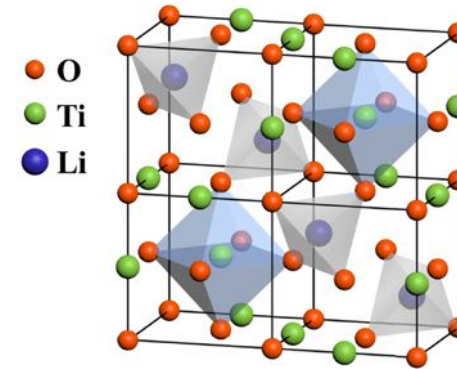
(1975)



$$T_c \approx 10 \text{ K}$$

$$\approx 2 \times 10^{27} / \text{m}^3$$

«Spinel»  $\text{LiTi}_2\text{O}_4$



(1973)

$$T_c \approx 12 \text{ K}$$

$$\approx 2 \times 10^{27} / \text{m}^3$$

Zum Vergleich: Kupfer  $8 \times 10^{28} / \text{m}^3$ , Blei  $1.3 \times 10^{29} / \text{m}^3$



# Kuprate: Hochtemperatur-Supraleiter

Isolator-Metall Übergang durch Dotierung in Übergangs-Metall-basierten Perovskiten

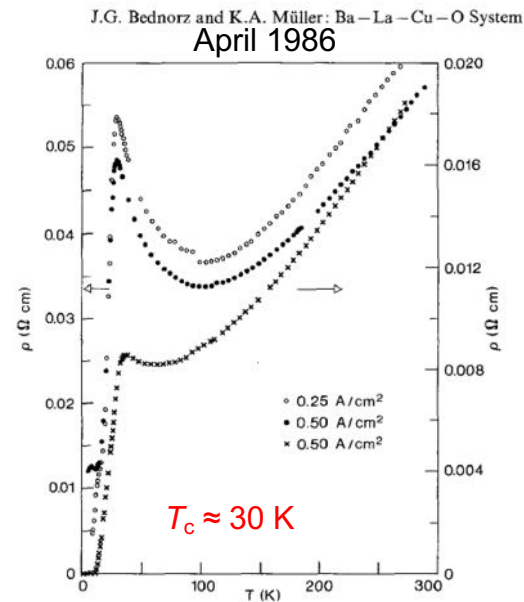
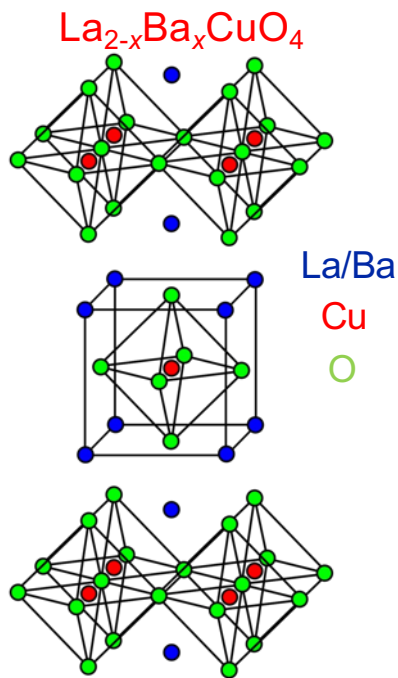
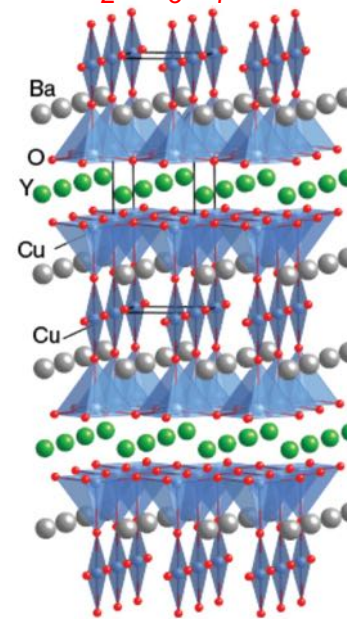


Fig. 1. Temperature dependence of resistivity in  $\text{Ba}_x\text{La}_{5-x}\text{Cu}_5\text{O}_{5(3-y)}$  for samples with  $x(\text{Ba})=1$  (upper curves, left scale) and  $x(\text{Ba})=0.75$  (lower curve, right scale). The first two cases also show the influence of current density

Z. Phys. B: Cond. Matter 64 (1986) 189

$\text{YBa}_2\text{Cu}_3\text{O}_7$  März 1987

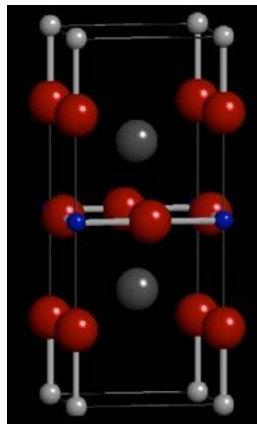
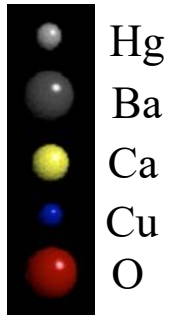
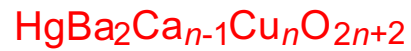


$T_c \approx 93 \text{ K}$

Wu et al., Phys. Rev. Lett. 58 (1987) 908

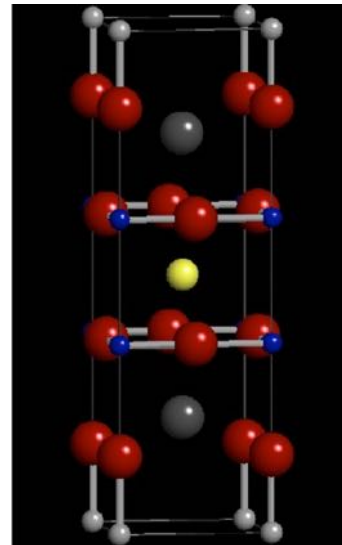


## Kuprate: Hochtemperatur-Supraleiter



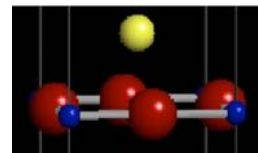
$$n = 1, T_c = 96 \text{ K}$$

S.N. Putilin et al.,  
*Nature* 362 (1993) 226

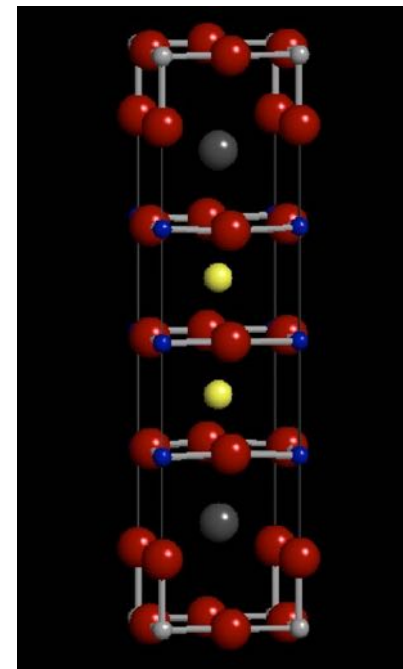


$$n = 2, T_c = 127 \text{ K}$$

+



+ “CaCuO<sub>2</sub>”



$$n = 3, T_c = 134 \text{ K}$$

A. Schilling et al.,  
*Nature* 363 (1993) 56



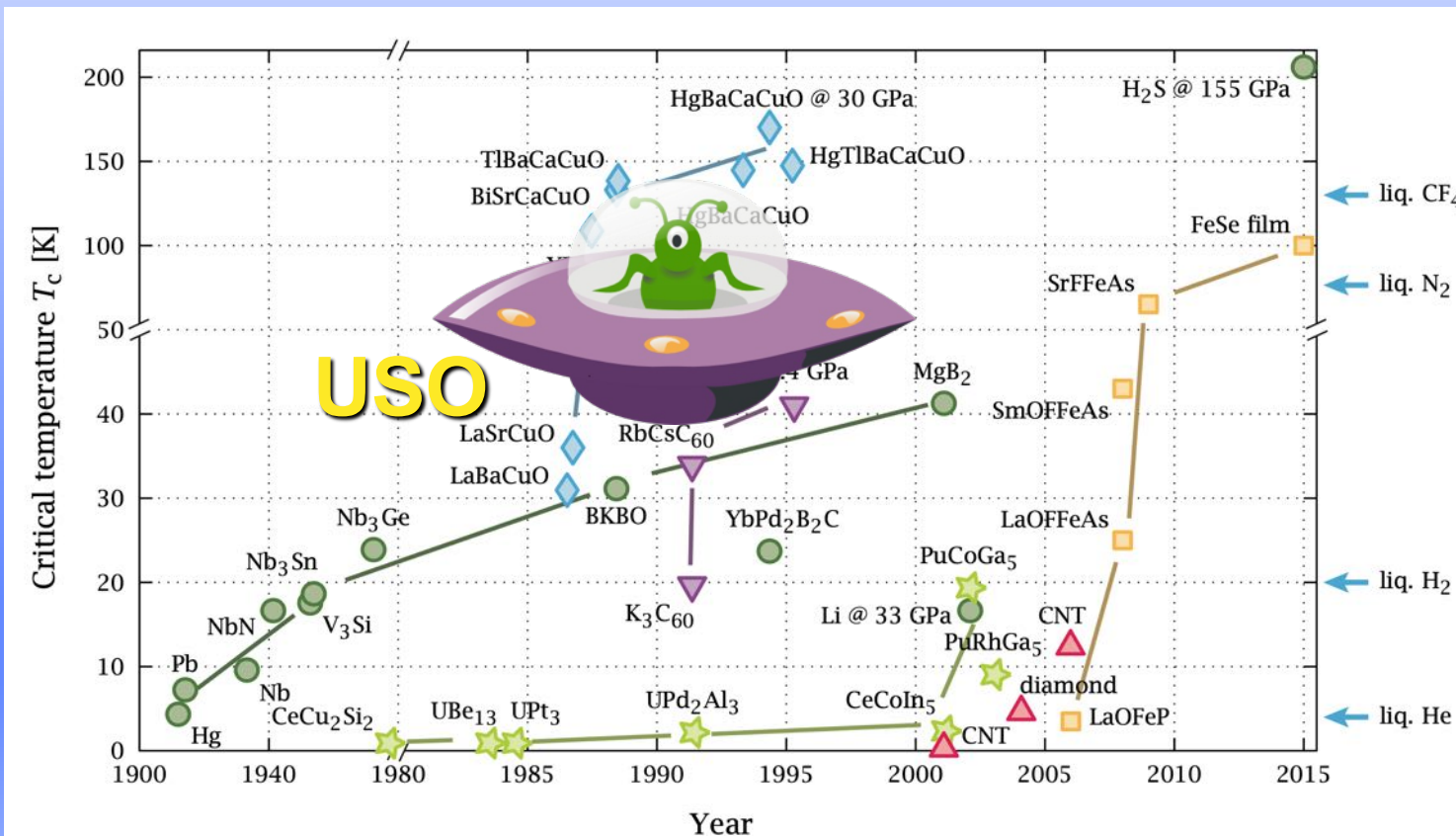
## Kuprate: Hochtemperatur-Supraleiter

### Speziell bei Kuprat-Supraleitern:

- Kritische Temperatur bei Normaldruck oberhalb 77 K (-196 °C)
- Extrem Typ-II: Deshalb sehr hohe kritische Magnetfelder  $B_{c2}$  möglich ( > 100 Tesla)
- Sehr hohe kritische Stromdichten bei tiefen Temperaturen ( $\approx 10^7$  A/cm<sup>2</sup>)
- Sehr anisotrop auf Grund der Schichtstruktur: «Vortex-Pinning» geht nahe  $T_c$  verloren
- Spröde (Oxid-Keramik): schwierige Metallurgie (Drähte, Spulen etc.)









## Kritische Temperatur vs. Zeit (bis 2015)

### LK-99 Is No Radical Superconductor After All, Scientists Confirm

PHYSICS 30 November 2023 By CLARE WATSON



(Rokas91/Getty Images)



